

УДК 621.373 : 535.06

## О СНИЖЕНИИ УРОВНЯ АДДИТИВНЫХ ПОМЕХ В ВЫХОДНОМ СИГНАЛЕ ЛАЗЕРНОГО ИЗМЕРИТЕЛЯ СКОРОСТИ

Ю. Г. Василенко, Ю. Н. Дубнищев и Е. Н. Уткин

Рассматривается возможность снижения уровня аддитивных помех в выходном сигнале лазерного допплеровского измерителя скорости путем использования двух приемных каналов, связанных по поляризациям интерферирующих пучков и подключенных к вычитающей схеме. Сигналы в каждом канале имеют синфазные аддитивные помехи и ортогональные по фазе (или противофазные) полезные допплеровские составляющие. Уровень помех в разностном сигнале на выходе вычитающей схемы уменьшается. Приводятся результаты эксперимента.

В лазерных допплеровских измерителях скорости (ЛДИС) выделение допплеровского сдвига осуществляется обычно методом оптического гомодинирования (гетеродинирования). Сигнал на выходе фотоприемника при этом описывается выражением вида

$$I(t) = I_p(t) + \sum_{n=1}^N I_n(t) \cos(\omega_D t - \varphi_n). \quad (1)$$

Для схемы ЛДИС с нерассеянным опорным пучком [1]

$$I_p(t) = \alpha \left\{ E_0^2(t) + \sum_{n=1}^N E_n^2(t) + \sum_{l=1}^N \sum_{m=1}^N E_l(t) E_m(t) \cos [(k_s - k_i)(v_l - v_m)t - \varphi_{lm}] \right\}$$

есть аддитивная помеха,  $I_n(t) = \alpha E_0(t) E_n(t)$  — полезная составляющая.  $\alpha$  — коэффициент, учитывающий чувствительность и усиление фотоприемника,  $E_0(t)$  — амплитуда поля опорного пучка;  $E_n(t)$  — амплитуда поля пучка, рассеянного  $n$ -й частицей в исследуемой области потока,  $\omega_D = (k_s - k_i)$ ,  $v_n$  — допплеровская частота,  $k_s$ ,  $k_i$  — волновые векторы соответственно рассеянного и опорного пучков,  $v_n$  — вектор скорости  $n$ -й частицы,  $\varphi_n$ ,  $\varphi_{lm}$  — фазы,  $N$  — число частиц в исследуемом рассеивающем объеме.

Для дифференциальной схемы [2]

$$\begin{aligned} I_p(t) = & \alpha \left\{ \sum_{n=1}^N E_{n1}^2(t) + E_{n2}^2(t) + \sum_{l=1}^N \sum_{m=1}^N E_{l1} E_{m1} \cos [(k - k_1)(v_l - v_m)t - \varphi_{lm}] + \right. \\ & + E_{l2} E_{m2} \cos [(k - k_2)(v_l - v_m)t - \varphi_{lm}] + E_{l1} E_{m2} \cos [(k - k_1)v_l t - \right. \\ & \left. \left. - (k - k_2)v_m t - \varphi_{lm}] \right\}, \right. \end{aligned}$$

$$I_n(t) = E_{n1}(t) E_{n2}(t),$$

$E_{nj}$  — амплитуда поля пучка, рассеянного  $n$ -й частицей от  $j$ -го падающего луча,  $k$  — волновой вектор рассеянного пучка,  $k_1$ ,  $k_2$  — волновые векторы падающих пучков.

Как видно из (1), аддитивная помеха  $I_p(t)$  содержит, помимо компонент, пропорциональных квадратам амплитуд интерферирующих пучков, составляющие, частотный спектр которых определяется попарными разностями скоростей частиц, находящихся в рассеивающем объеме. Сюда же входят помехи от нестабильности мощности лазерного источника и модуляции интенсивности пучков подвижными неоднородностями среды, через которую они проходят. Авторами предложен и испытан метод, позволяющий в значительной степени снизить уровень аддитивных помех в выходном сигнале. Экспериментальная схема представлена на рис. 1. За основу взята дифференциальная схема ЛДИС, описанная в [3]. Луч лазера 1 после прохождения четверть-волновой фазовой пластинки 3 попадает на поляризационную призму (например, призму Волластона) 4, где расщепляется на два ортогонально поляризованных пучка равной интенсивности. Расходящиеся расщепленные пучки объективом 5 преобразуются в параллельные и объективом 7 фокусируются в исследуемую область потока. На пути одного из пучков помещена четверть-волновая

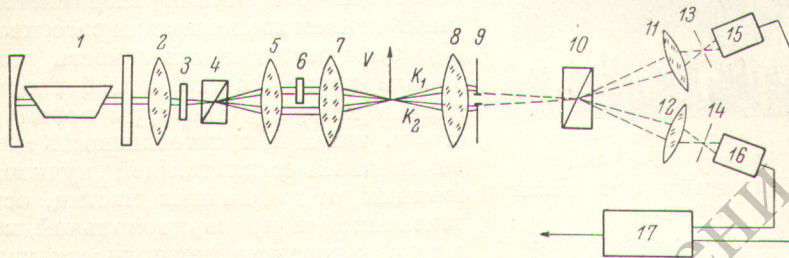


Рис. 1. Экспериментальная схема.

(или полуволновая) фазовая пластинка 6, после прохождения которой две ортогонально поляризованные компоненты пучка приобретают соответственно фазовые сдвиги в  $90^\circ$  (или  $180^\circ$ ). Хотя при рассеянии на частицах свет несколько деполяризуется, преимущественная поляризация рассеянного пучка совпадает с поляризацией падающего. Пространственно-совмещенные пучки, рассеянные частицами от 1-го и 2-го падающего пучков, направляются объективом 8 через апертурную диафрагму 9 на поляризационную призму (например, призму Волластона) 10, где расщепляются на два ортогонально поляризованных луча одинаковой интенсивности, плоскости поляризации которых при соответствующей ориентации призмы 10 совпадают с плоскостями поляризаций ортогональных (или противофазных) компонент на выходе фазовой пластинки 5. Далее каждый из расщепленных пучков фокусируется объективом 11 (12) и через полевую диафрагму 13 (14) направляются на соответствующий фотоприемник 15 (16). В результате сигналы  $I_1(t)$  и  $I_2(t)$  на выходе фотоприемников имеют синфазные составляющие аддитивных помех и ортогональные (либо противофазные) допплеровские составляющие. Оба сигнала подаются на вычитающую схему (например, дифференциальный усилитель) 17, на выходе которой получается сигнал  $\Delta I(t)$ , который можно, учитывая (1), описать следующим образом для схемы с четвертьвольновой фазовой пластинкой 6:

$$\Delta I(t) = I_1(t) - I_2(t) = \sqrt{2} \left\{ \sum_{l=1}^N \sum_{m=1}^N I_{lm}(t) \sin \left[ (\mathbf{k} - \mathbf{k}_1) \mathbf{v}_l t - (\mathbf{k} - \mathbf{k}_2) \mathbf{v}_m t - \varphi_{lm} - \frac{\pi}{4} \right] + \sum_{n=1}^N I_n(t) \sin \left[ (\mathbf{k}_2 - \mathbf{k}_1) \mathbf{v}_n t - \varphi_n - \frac{\pi}{4} \right] \right\} \quad (2)$$

и для схемы с полуволновой фазовой пластинкой 6

$$\Delta I(t) = 2 \left\{ \sum_{l=1}^N \sum_{\substack{m=1 \\ l \neq m}}^N I_{lm}(t) \cos [(\mathbf{k} - \mathbf{k}_1) \mathbf{v}_l t - (\mathbf{k} - \mathbf{k}_2) \mathbf{v}_m t - \varphi_{lm}] + \right. \\ \left. + \sum_{n=1}^N I_n(t) \cos [(\mathbf{k}_2 - \mathbf{k}_1) \mathbf{v}_n t - \varphi_m] \right\}, \quad (3)$$

где  $I_{lm}(t) = \alpha E_{l1}(t) E_{m2}(t)$ ,  $I_n(t) = \alpha E_{n1}(t) E_{n2}(t)$ .

Из (2) и (3) следует, что в выходном сигнале компенсируются полностью квадратичные компоненты аддитивной помехи и сигналы биений пучков, рассеянных различными частицами от одноименных падающих пучков.

Относительный уровень биений пучков, рассеянных различными частицами от разноименных падающих пучков, может быть снижен увеличением апертуры, собирающей рассеянный свет системы, и уменьшением концентрации рассеивателей. При этом растет интенсивность полезной допплеровской составляющей пропорционально квадрату апертуры приемной системы, тогда как интенсивность интерференционной составляющей пучков, рассеянных от различных частиц, остается неизменной и пропорциональной, как известно, к когерентной поверхности приема [4]

$$A \sim \frac{\lambda^2}{\Omega^2},$$

где  $\Omega = rl^2m/R^2$ ,  $\lambda$  — длина волны лазера,  $r_{lm}$  — проекция расстояния между частицами  $e$  и  $m$  на плоскость, перпендикулярную радиусу-вектору точки приема  $R$ .

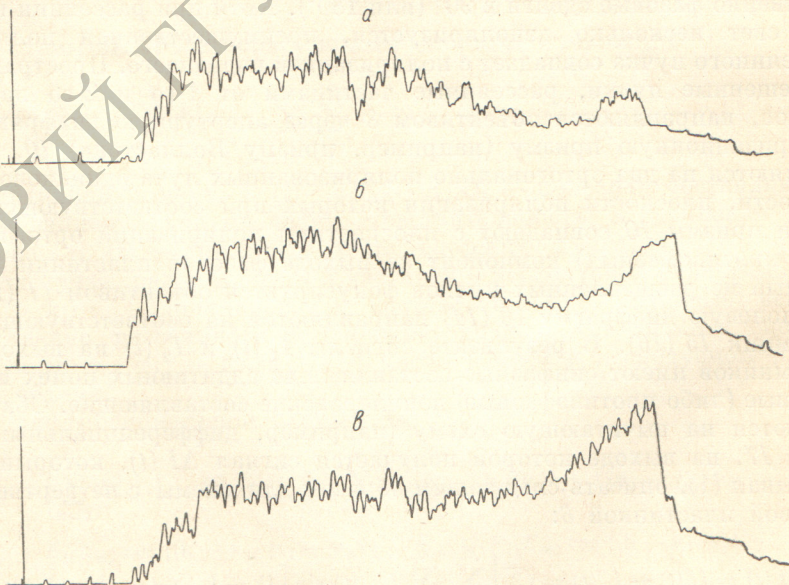


Рис. 3. Спектрограмма выходного сигнала после первого (a) фотоприемника, после второго (б) и после вычитающей схемы (в).

При компенсации аддитивной помехи описанным методом в схемах ЛДИС с нерассеянным опорным пучком сигнал на выходе вычитающей схемы описывается выражением

$$\Delta I(t) = I_1(t) - I_2(t) = 2 \sum_{n=1}^N I_n(t) \cos [(\mathbf{k}_s - \mathbf{k}_i) \mathbf{v}_n t - \varphi_n]. \quad (4)$$

Как следует из (4), компенсация аддитивной помехи в этом случае оказывается полной. На практике, однако, полная компенсация не достигается из-за деполяризующих свойств рассеивающих частиц.

На рис. 2 приведены фотографии допплеровского сигнала до и после вычитающей схемы (допплеровская частота 2 кГц, лазер в режиме основной моды), сделанные с экрана двухлучевого осциллографа. На рис. 3 показаны спектрограммы сигналов в полосе 40—20 кГц, снятые на анализаторе спектра типа Брюль и Кьер на выходе первого фотоприемника (а), второго (б) и после вычитающей схемы (в). Лазер работает в энергетически выгодном режиме многих поперечных мод. Длины волн излучения  $\lambda=0.63$  мкм. Отношение сигнал—шум до и после вычитающей схемы соответственно +8 и +16 дБ. Измерения проводились на турбулентном водном потоке с примесью фторопластовой эмульсии измерительной схемой с большими апертурами падающих и рассеянных пучков. Поэтому спектр допплеровского сигнала сильно уширен.

Авторы благодарят В. П. Коронкевича и В. С. Соболева за полезные обсуждения.

#### Литература

- [1] R. J. Goldstein, W. F. Hagen. Phys. Fluids, 10, 1340, 1967.
- [2] B. Lehmann. A. E. G. Telefunken, № 3, 141, Berlin, 1968.
- [3] Ю. Н. Дубнищев, В. П. Коронкевич, В. С. Соболев. Автометрия, № 1, 43, 1971.
- [4] М. Росс. Лазерные приемники. Изд. «Мир», М., 1969.

Поступило в Редакцию 29 декабря 1971 г.